

# Sisältö

<b>1</b>	<b>Johdanto</b>	<b>1</b>
<b>2</b>	<b>Enzo</b>	<b>2</b>
2.1	Hila . . . . .	2
2.2	Numeerinen ratkaiseminen . . . . .	3
<b>3</b>	<b>yt</b>	<b>5</b>
3.1	Käyttäjän ja simulaatiodatan välinen rajapinta . . . . .	5
3.2	Rinnakkaistaminen . . . . .	6
3.3	Visualisoinnin upottaminen simulaatiokoodiin . . . . .	7
<b>4</b>	<b>Oma työ</b>	<b>8</b>
4.1	Läpileikkaukset . . . . .	8
4.2	Projektiot . . . . .	9
4.3	3D . . . . .	12
4.4	eps_writer . . . . .	13
4.5	Muutokset yt:n lähdekoodissa . . . . .	13
<b>5</b>	<b>Tulokset</b>	<b>14</b>
<b>6</b>	<b>Loppupäätelmät</b>	<b>15</b>
	<b>Viitteet</b>	<b>16</b>
<b>A</b>	<b>3D-animaatio spiraaliradlla lähestyen</b>	<b>17</b>

# 1 Johdanto

## 2 Enzo

Enzo on astrofysikaalisten fluidien simulointiin käytettävä ilmainen ja avoin simulaatio-koodi, joka on suunniteltu kosmologisten rakenteiden simulointiin. Se tukee muun muassa hydrodynamiikkaa, ideaalista ja epäideaalista magnetohydrodynamiikkaa, N kappaleen simulaatioita, kaasupilvien kemialla, säteilykuljetusta, tähtien syntyä sekä maailmankaikkeuden laajenemista. [7]

Enzo hyödyntää mukautuvaa hilantihennystä (*Adaptive Mesh Refinement*, AMR), joka mahdollistaa aika- ja paikkaresoluution kasvattamisen simulaation kiinnostavilla alueilla. Tämä on tärkeää, sillä usein melko pienellä alueella tarvitaan suurta resoluutiota, mutta koko simulaation ajaminen näin suurella tarkkuudella veisi kohtuuttoman paljon aikaa. Kullekin paikalle valitaan sopiva resoluutio automaattisesti käyttäjän määrittelemien ehtojen mukaan. [7]

### 2.1 Hila

Simuloitava alue katetaan kokonaan hilalla, jonka tiheys valitaan sellaiseksi, että saavutetaan pienin haluttava resoluutio. Tämä niinkutsuttu juurihila toimii juurena muiden hilojen muodostamalle hierarkialle, joka muodostuu, kun juurihilasta valitaan alueita simuloitavaksi korkeammalla resoluutiolla. [7]

Kaikki hilat ovat karteesisia ja suorakulmaisia. Alueille, joilla tarvitaan korkeampaa resoluutiota, asetetaan juurihilan kanssa päällekkäin toinen, hienompi hila. Näitä sisäkkäisiä hiloja voi tarvittaessa olla teoriassa mielivaltaisen monta. Kuvassa 1 on selvästi nähtävillä hilojen mukauttaminen tutkittavaan alueeseen: tiheillä tai muuten kiinnostavilla alueilla kätetään pienempiä ja tiheämpiä hiloja. [7]

Kullakin hilalla juurihilaa lukuun ottamatta on vanhempi, joka sisältää hilan kokonaan. Yhdellä hilalla voi olla useita lapsia, mutta aina vain yksi vanhempi. Näin hilat muodostavat puumaisen rakenteen. Tavallisesta puita koskevasta nimeämiskäytännöstä poiketen sisaruksiksi kutsutaan kaikkia niitä hiloja, joiden resoluutio on sama eli ne sijaitsevat puussa samalla tasolla. [7]



Kuva 1: Läpileikkaus  $100 \text{ pc}^2$  alueesta Enzo-simulaatiosta (julkaisua Regan et al. 2015 varten), jonka hilojen rajat näkyvillä (vasen kuva) sekä ilman niitä (oikea kuva). Kiinnostavammilla alueilla solut ovat pienempiä. Resoluution heikentyminen simulaation reuna-alueilla sijaitsevista suuremmissa ja harvemmissa hiloissa on selvästi nähtävissä oikeanpuoleisessa kuvassa.

Hienompia hiloja luotaessa valitaan hilan solujen koko siten, että hila rajoittuu reunoistaan vanhempien solujen tahkoihin. Lisäksi solun vanhemman sivun pituuden tulee olla jokin monikerta solun sivun pituudesta. [7]

Kukin hila koostuu varsinaisen datan tallettavien aktiivisten vyöhykkeiden (*active zone*) lisäksi haamuvyöhykkeistä (*ghost zone*), joita käytetään laskennassa tarvittavien aktiivisten vyöhykkeiden arvojen päivittämiseen tarvittavien naapurisolujen varastointiin väliaikaisesti. Hydrodynamiikkaa varten haamuvyöhykkeitä on kolme kerrosta kullakin aktiivisen vyöhykkeen tahkolla. Haamuvyöhykkeiden arvot saadaan interpoloimalla hilan vanhemmasta tai kopioimalla sisaruksista. [8, 7]

## 2.2 Numeerinen ratkaiseminen

Enzo tarkastelee kutakin hilaa omana ongelmana ratkaisten tarvittavat yhtälöt kullekin hilalle erikseen käyttäen reunaehtoina haamuvyöhykkeistä saatavia arvoja. Aluksi määritetään halutun tarkkuuden saavuttamiseksi tarvittava aika-askel kullekin puun tasolle. Tämän jälkeen aletaan tasoja käydä läpi W-syklin mukaisesti (kuva 2). [7]

W-syklissä kunkin tason kaikille hiloille lasketaan aluksi niiden tila yhden aika-askelen kuluttua. Laskeminen aloitetaan juurihilasta se etenee tasoittain, kunnes kaikki AMR-



Kuva 2: Vasemmalla kolmitasoinen hierarkia hiloja ja oikealla niiden läpikäyntijärjestys W-syklissä ja aika-askeleiden pituudet kun oletetaan, että tason  $l + 1$  aika-askel on puolet tason  $l$  aika-askeleen pituudesta ja tason 0 aika-askeleen pituus on  $t$ . Katkoviivalla on erotettu vaiheet, joiden jälkeen kunkin tason hilat ovat edenneet ajan  $t$  verran eli ollaan jälleen alkutilannetta vastaavassa tilanteessa, jolloin sykli alkaa uudelleen.

puun lehdet on käsitelty. Seuraavaksi puun alimmalla tasolla olevia hiloja edistetään niin monta aika-askelta kuin tarvitaan, jotta saavutetaan ylempi taso, jonka hiloja edistetään myös yhden aika-askeleen verran. Tämän jälkeen alimman tason hiloja edistetään taas, kunnes ylempi taso on jälleen saavutettu. [7]

Hilojen edistämistä jatketaan näin, edistäen aina tason  $l$  hiloja, kunnes ne saavuttavat tason  $l - 1$  hilat, jolloin tason  $l - 1$  hiloja edistetään jälleen yhden aika-askeleen verran. Näin seuraava aika-askel lasketaan aina sille tasolle, jolla aikaa simulaation alusta on kulunut vähiten. Kun hiloja on edistetty niin pitkälle, että on jälleen aika edistää tason 0 hilaa, sykli alkaa alusta. [7]

## 3 yt

`yt` on avoimen lähdekoodin Python-paketti, joka mahdollistaa simulaatiotulosten helpon lukemisen, analysoinnin ja visualisoinnin. Kehitystyön alkuvaiheessa se sopi käytettäväksi vain Enzo-simulaatioiden kanssa, mutta nykyään sillä voidaan suoraan lukea sekä muiden AMR-simulaatioiden (kuten RAMSES tai BoxLib) että N kappaleen simulaatioiden (esimerkiksi Gadget) tuloksia. [9]

### 3.1 Käyttäjän ja simulaatiodatan välinen rajapinta

`yt` abstrahoi hyvin voimakkaasti lukemansa datan, jolloin käyttäjä voi keksittyä fysikaalisiin rakenteisiin, joita simulaatio edustaa. Kun käyttäjä on ladannut simulaatiodatan, voi siitä tarkastella esimerkiksi pallomaista aluetta antamalla alueen keskustan koordinaatit ja pallon säteen ilman, että käyttäjän tarvitsee esimerkiksi etsiä niitä hiloja, jotka kattavat alueen parhaalla mahdollisella resoluutiolla tai tietää, missä tiedostoissa data on tallennettuna. Lisäksi `yt` huolehtii yksikkömuunnoksista. [9]

Koska dataa käsitellään abstrakteina olioina, voidaan samaa ohjelmaa käyttää myös eri simulaatioista saadun datan kanssa vaihtamalla luettavaa datasettiä. Esimerkiksi alla oleva koodisegmentti lataa sijainnissa "data" olevan simulaation muistiin ja plottaa sen jälkeen sivultaan 500 kpc olevan alueen poikkileikkauksen tiheyden ja tallentaa sen. Ohjelma ei ota kantaa luettavan datan muotoon, ja onkin siksi helposti käytettävissä minkä tahansa `yt`:n tukeman datasetin kanssa ainoastaan vaihtamalla datasettiä ladattaessa annettavaksi parametriksi halutun datan sijainti. [9, 1]

```
1 import yt
2 dataset = yt.load("data")
3 plot = yt.SlicePlot(dataset, "x", "density", width = (500, "kpc
    ↪ "))
4 plot.save("slice.png")
```

Simulaatiodatassa olevien tietojen lisäksi `yt` pystyy laskemaan datasta myös monia muita suureita kuten vaikkapa kulmaliikemäärän, maksimi- ja minimiarvoja sekä niiden sijain-teja tai massakeskipisteen sijainnin. Lisäksi käyttäjän on mahdollista luoda omia kenttiä.

Alla on yt:n dokumentaatiosta<sup>1</sup> mukailtu esimerkki koodinpätkästä, jolla lisättäisiin paine yt:n tuntemien kenttien joukkoon. Uudelle kentälle määritellään nimen ja funktion lisäksi myös yksikkö. [9, 2]

```
1 def _pressure(field, data):
2     return (data.ds.gamma - 1.0) * data["density"] * data["
           ↪ thermal_energy"]
3 yt.add_field("pressure", function=_pressure, units="dyne/cm**2"
           ↪ )
```

Laskettujen suureiden laskemisen jälkeen yt tarjoaa laajan valikoiman työkaluja tulosten visualisointiin. Aiemmin esitellyjen halkileikkausten lisäksi yt:llä voi luoda muun muassa erilaisia profileja, painottamattomia tai painotettuja projektioita tai 3D-renderöintejä. [9]

## 3.2 Rinnakkaistaminen

Usein visualisoitavaa dataa on hyvin paljon ja tietokoneiden kehittyessä sen määrä edelleen lisääntyy, jolloin rinnakkaislaskennan käyttö myös datan analysoinnissa tulee tärkeämmäksi ja tärkeämmäksi. yt käyttää mpi4py-moduulia mahdollistaakseen datan rinnakkaisen käsittelyn niissä tehtävissä, jotka ovat helposti rinnakkaistettavissa. Tällaisia ovat esimerkiksi tehtävät, joissa simuloitava alue voidaan jakaa eri prosessorien kesken. Muun muassa projistointi on mahdollista toteuttaa siten, että kukin prosessori laskee tietyn joukon näköseiteitä, jotka lopuksi yhdistetään yhdeksi plotiksi.[9]

Käyttäjä voi ottaa rinnakkaistuksen käyttöön ohjelmassaan yksinkertaisesti lisäämällä ohjelmansa alkuun rivin `yt.enable_parallelism()`. Lisäksi ohjelman suorittamiseen on luonnollisesti käytettävä `mpirun`-komentoa. Tällöin yt osaa rinnakkaistaa esimerkiksi projektioiden, poikkileikkausten, profilien ja 3D-renderöintien luonnin sekä halojen etsimisen. Tarvittaessa joitain operaatioita voidaan suorittaa sarjallisesti esimerkiksi tarkastamalla funktion `yt.is_root()` palauttama arvo, joka palauttaa arvon `True` jos kutsumalla prosessorilla on MPI rank 0, muuten `False`. [9, 4]

yt pystyy käsittelemään myös useita datasettejä tai objekteja rinnakkain. Käyttämällä jokerimerkkejä kuten `*` ja `?` dataa ladattaessa, voidaan kerralla ladata useita datasettejä tai objekteja käsiteltäväksi rinnakkain. Tämän jälkeen ne voidaan käydä läpi käyttäen `piter()`-funktioita, joka jakaa käsiteltävät oliot prosessorien kesken. [4]

<sup>1</sup>[http://yt-project.org/doc/developing/creating\\_derived\\_fields.html](http://yt-project.org/doc/developing/creating_derived_fields.html)

### 3.3 Visualisoinnin upottaminen simulaatiokoodiin

Vaikka simulaation tila voidaan tarvittaessa tallentaa vaikka jokaisen aika-askeleen jälkeen, on prosessi hidas ja vaatii suuria tai pitkäkestoisia simulaatioita ajettaessa kohtuuttoman paljon levytilaa. Python/C API mahdollistaa muistissa olevan datan antamisen Python-tulkille simulaation sisällä. `yt` puolestaan tarjoaa API:n jolla simulaation informaatio voidaan välittää analyysipaketille ja `yt:tä` voidaan käyttää ajossa olevan simulaation analysointiin. [9]

Kun simulaation outputteja ei tarvitse tallentaa visualisointia varten, voidaan kuvia tai plotteja tallentaa huomattavasti useammin ja saavutetaan huomattavasti parempi tarvittavan tallennustilan ja tallennetun hyödyllisen informaation määrän suhde, sillä simulaation outputin koko liikkuu usein gigatavujen luokassa kun taas esimerkiksi kuvat ovat vain joitain kymmeniä tai satoja kilotavuja. Tyypillisesti dataa redusoidaan voimakkaasti joka tapauksessa, joten alkuperäisen outputin tallentaminen ei välttämättä ole mielekästä niin usein kuin esimerkiksi sulavan animaation tuottamiseksi on tarpeen. [9]



## 4 Oma työ

Aloitin `yt`:hen tutustumisen selaamalla dokumentaatiota sekä cookbookia<sup>2</sup> ja ensin koproimalla ja sittemmin muokkaamalla siellä annettuja malliohjelmia käyttäen esimerkkidataa. Tutustuin tarkimmin halkileikkauksiin, projektioihin ja 3D-renderöinteihin sekä muun muassa niiden akselien tekstien ja jaotuksen tai väriskaalojen muokkaamiseen. Lisäksi kokeilin `yt`:n soveltamista animaatioiden tekemiseen.

Opittuani perusasiat aloin soveltaa niitä tutkimusryhmämme tuottamaan dataan kaasupilven romahtamista suoraan mustaksi aukoksi koskevista simulaatioista (Regan et al. 2015). Samalla otin selvää `yt`:n tarjoamista mahdollisuuksista usean plotin yhdistämiseksi yhteen kuvaan. Kun samaan kuvaan halutaan useantyyppisiä kuvia, tarvitaan `eps_writer`-luokkaa. Sen tarjoama tuki profiileille oli kuitenkin puutteellinen, joten jouduin myös parantelemaan `yt`:n lähdekoodia.

### 4.1 Läpileikkaukset

Aloitin tutustumalla `yt`:n yksinkertaisimpiin plotteihin aloittaen läpileikkauksista. Läpileikkausten luominen on tyypillisesti melko nopeaa, sillä niiden tekemiseksi täytyy käydä läpi vain ohut viipale datasetistä. Plotti luodaan hakemalla ensin tarvittava data datasetistä suurimmalla mahdollisella resoluutiolla `FixedResolutionBuffer`-luokkaan (FRB), josta muodostetaan kuva käyttäjän määrittelemästä kohdasta. Samaa FRB:tä voidaan käyttää useiden kuvien renderöintiin mikäli kuvaa halutaan esimerkiksi zoomata tai panoroida. Tämä nopeuttaa kuvien luomista hieman. [3]

Läpileikkauksia voidaan käyttää yksittäisinä näyttämään jokin alue simulaatiosta tai niitä voidaan renderöidä useita ja koostaa niistä animaatio. Esimerkiksi listing 1 lukee annetun datasetin ja tallentaa läpileikkauksen tiheyksistä simulaation tiheimmän kohdan ympäriltä sadasta kohdasta liikkuen  $z$ -akselia pitkin 1 kpc matkan. Esimerkissä tarkastellaan kohdetta koordinaattiakselin suunnasta, mutta läpileikkauksia voidaan luoda mielivaltaisesta suunnasta [3].

Lisäksi plotin colorbarin alueeksi asetetaan  $3 \times 10^{-26} - 2.5 \times 10^{-25} \frac{\text{g}}{\text{cm}^3}$  ja colormapiksi

---

<sup>2</sup><http://yt-project.org/docs/3.1/cookbook/>

hot<sup>3</sup>. Lisäksi akseleilla käytettävän fontin kokoa kasvatetaan ja lopullinen kuva tallennetaan juoksevaa numerointia käyttäen. Neljä sadasta tuloksena saatavista plotista tasaisin välein valittua läpileikkausta on nähtävissä kuvassa 3.

Listing 1: Python-ohjelma, joka tallentaa 100 esimerkiksi animoitavaksi sopivaa framea, joissa sivultaan 3 kpc oleva läpileikkaus liikkuu simulaation z-akselin suunnassa läpi simulaation tiheimmän kohdan.

```

1  # -*- coding: utf-8 -*-
2
3  import yt
4  import numpy as np
5
6  ds = yt.load("data/dataset")
7  v, maxtiheys = ds.find_max("density")
8  frame = 0
9
10 for i in np.arange(-0.5, 0.5, 0.01):
11     siirto = yt.YTArray([0, 0, i], 'kpc')
12     keskusta = maxtiheys - siirto
13
14     image = yt.SlicePlot(ds, 'z', center=keskusta, fields=['
        ↪ density'], width=(3, 'kpc'))
15     image.set_zlim('density', 3e-26, 25e-26)
16     image.set_cmap("density", "hot")
17     image.set_font_size(35)
18     image.save("kuvat/flythrough/%04i.png" % frame)
19     frame+=1

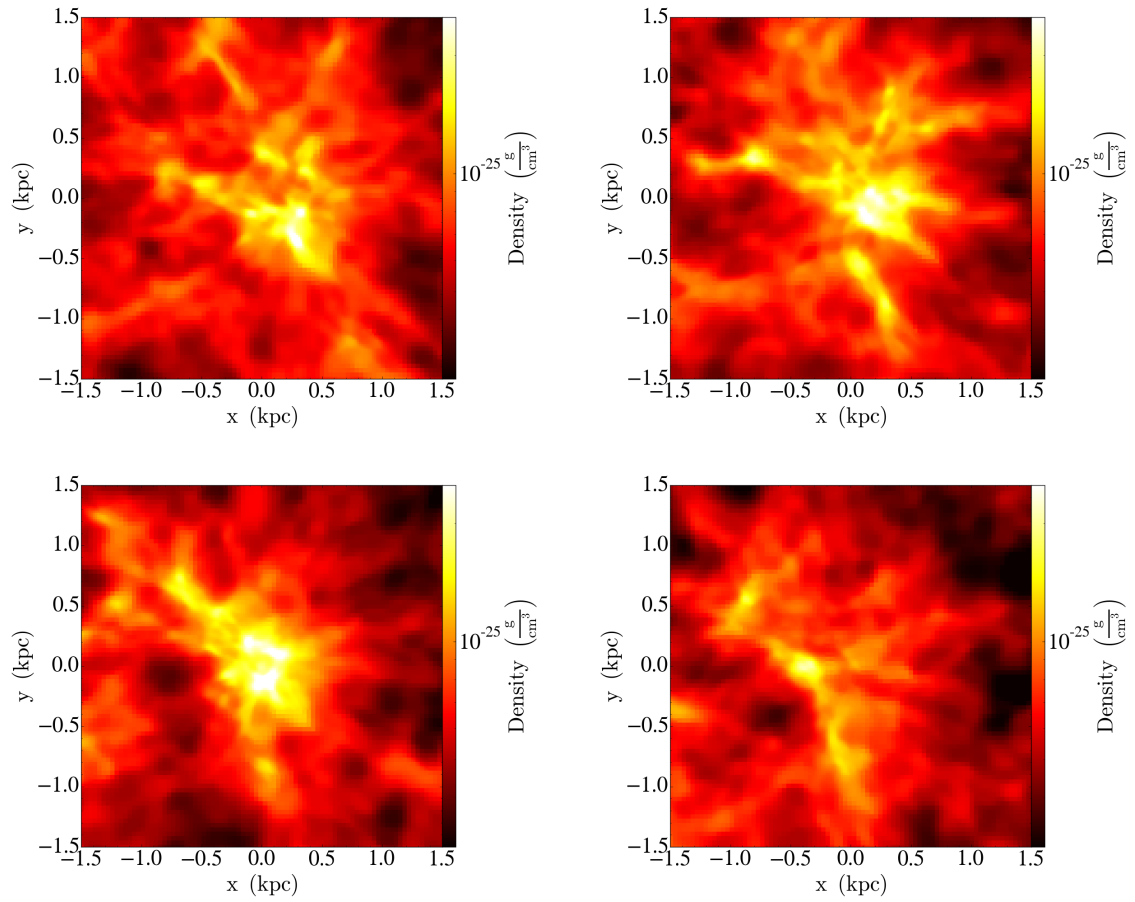
```

## 4.2 Projektit

Projektoiden luominen yt:llä onnistuu pääpiirteissään samalla tavoin kuin läpileikkaustenkin. Projektiota luotaessa täytyy käydä läpi koko näkösäde kutakin lopullisen kuvan pikseliä kohden, joten niiden luominen on tyypillisesti hieman hitaampaa kuin läpileikkausten. Ne tuovat kuitenkin usein läpileikkauksia paremmin esiin näkösäteen suunnassa laajempia rakenteita. Kuten läpileikkauksiakin, myös projektioita voi tehdä myös muissa kuin simulaation koordinattiakselien suunnissa käyttäen `OffAxisProjectionPlot`-luokkaa. [3]

Projektiota luotaessa pikselien arvot voidaan määrittää usealla eri tavalla. Yleisimpiä näistä ovat painotettu ja painottamaton integrointi, joka määritetään asettamalla `method=integrate`. Mikäli `weight_field`-parametria ei ole asetettu, lasketaan painottamaton

<sup>3</sup><http://yt-project.org/doc/visualizing/colormaps/>



Kuva 3: Neljä listingissä 1 esitetyn koodin tallentamista kuvista, kun se ajetaan julkaisua Regan et al. 2015 varten lasketulla datalla. Alueessa edetään syvemmälle riveittäin vasemmalta oikealle.

keskiarvo yhtälön 1 mukaisesti integroimalla haluttu kenttä  $f(x)$  näkösäteen  $\hat{n}$  suunnassa tutkittavan alueen yli. Tällöin projisoidun kentän yksikkö on alkuperäisen kentän yksikkö kerrottuna pituusyksiköllä. Mikäli `weight_field` on määritelty, lasketaan kentän painotettu keskiarvo yhtälön 2 mukaisesti. Tällöin myös yksikkö säilyy projisoinnissa samana. [3]

$$g(X) = \int f(x) \hat{n} \cdot dx \quad (1)$$

$$g(X) = \frac{\int f(x) w(x) \hat{n} \cdot dx}{\int w(x) \hat{n} \cdot dx} \quad (2)$$

Muita mahdollisia projisointitapoja ovat `mip` ja `sum`. Näistä ensimmäinen valitsee projisoitavan kentän maksimiarvon kullakin näkösäteellä ja jälkimmäinen integroinnin sijaan summaa kentän arvot näkösäteellä ottamatta huomioon kuljetun polun pituutta. Siksi `sum` sopiikin käytettäväksi vain sellaisten gridien kanssa, joiden solut ovat vakio-koisia, sillä muuten syntyvä kuva saattaa olla hyvin epäfysikaalinen. Kumpikin säilyttää alkuperäisen kentän yksiköt. [3, 6]

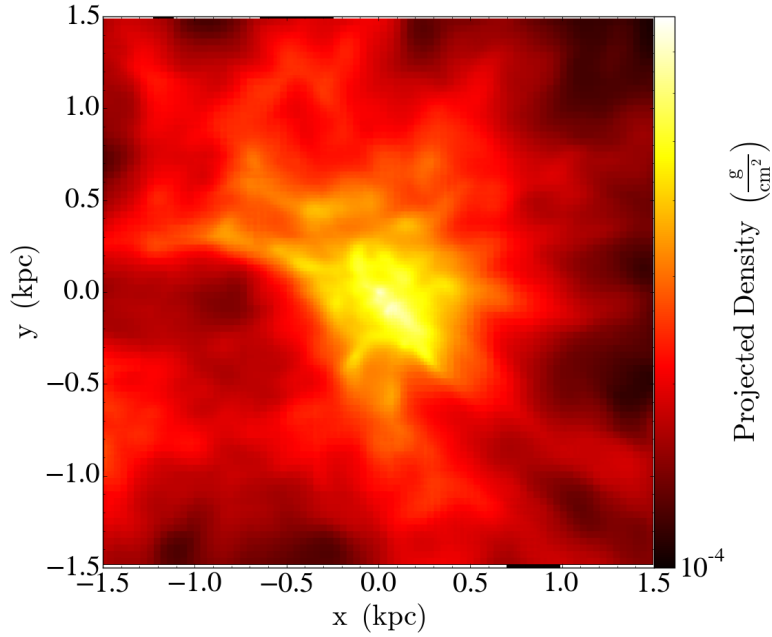
Listingissä 2 on esitetty yksinkertaisen projektion tallentava skripti. Se käyttää samaa simulaatiodataa kuin 1, josta luodaan yksi projektio integroimalla  $z$ -akselin suuntaisen näkösäteen suunnassa. Skriptin tuottama kuva on nähtävissä kuvassa 4. Vertaamalla tätä kuvan 3 läpileikkauksiin huomataan, että projisointi kadottaa näkösäteen suunnassa pienet yksityiskohdat, mutta projektioista saa paremman kuvan suuremman skaalan rakenteista. Myös yksiköiden huomataan poikkeavan toisistaan, sillä projektiota luotaessa käytettiin painottamatonta integrointia.

Listing 2: Yksinkertaisen projektion luomiseen soveltuva ohjelma. Käytetty alue datassa on sama kuin listingissä 1, mutta useiden läpileikkausten sijaan luodaan yksi projektio.

```

1  # -*- coding: utf-8 -*-
2
3  import yt
4
5  ds = yt.load("data/dataset")
6
7  v, keskusta = ds.find_max("density")
8  vasen_kulma = keskusta + yt.YTArray([-1.5, -1.5, -0.5], 'kpc')
9  oikea_kulma = keskusta + yt.YTArray([1.5, 1.5, 0.5], 'kpc')
10 region = ds.box(vasen_kulma, oikea_kulma)
11
12 plot = yt.ProjectionPlot(ds, 'z', fields=['density'], center='
    ↳ max', data_source = region, width=(3, 'kpc'))
13 plot.set_zlim("density", 8e-4, 1e-4)
14 plot.set_cmap("density", "hot")
15 plot.set_font_size(30)
16 plot.save("kuvat/projection.png")

```



Kuva 4: Listingin 2 luoma projektio. Verrattuna kuvan 3 läpileikkauksiin nähdään vähemmän yksityiskohtia, mutta projektio antaa paremman kokonaiskuvan koko alueesta kerralla.

### 4.3 3D

`yt` tarjoaa myös mahdollisuuden kolmiulotteisten rakenteiden tarkastelemiseen tilavuus-renderöimällä. Kuten kaksikulotteisissakin ploteissa myös tilavuusrenderöinnissä voidaan käyttää mitä tahansa simulaatiodatan kenttää, jolloin esimerkiksi katselusuuntaa kääntämällä tai zoomaamalla kohti kiinnostavia alueita voidaan simulaation kiinnostavia piirteitä tuoda esiin joissain tilanteissa havainnollisemmin kuin läpileikkauksilla tai projektioilla. [5]

Tilavuusrenderöintiä varten on ensin luotava color transfer function, jonka perusteella määritetään tarkasteltavan tilavuuden emissio ja absorptio kussakin RGBA-värijärjestelmän kaistassa. Ne voi määrätä mikä tahansa simulaation kenttä joko painottamattomana tai painotettuna toisella kentällä. Täten color transfer function määrää kunkin pisteen värin paikan funktiona siten, että  $f(v) \rightarrow (r, g, b, a)$ . [5]

Seuraavaksi luodaan `camera`-olio, jolloin datalohkot jaetaan kuvattavan alueen täysin kattaviin ”tiiliin” (*bricks*), joihin valitaan parhaan mahdollisen resoluution data jokaisesta pisteestä.

## 4.4 `eps_writer`

## 4.5 Muutokset yt:n lähdekoodissa

## 5 Tulokset

tulostan tähän tuloksia

## 6 Loppupäätelmät

---



# Viitteet

- [1] The cookbook. <http://yt-project.org/doc/cookbook/>. Accessed: 7.7.2015.
- [2] Creating derived fields. [http://yt-project.org/doc/developing/creating\\_derived\\_fields.html](http://yt-project.org/doc/developing/creating_derived_fields.html). Accessed: 27.7.2015.
- [3] How to make plots. <http://yt-project.org/doc/visualizing/plots.html>. Accessed: 17.7.2015.
- [4] Parallel computation with yt. [http://yt-project.org/doc/analyzing/parallel\\_computation.html](http://yt-project.org/doc/analyzing/parallel_computation.html). Accessed: 7.7.2015.
- [5] Volume rendering: Making 3d photorealistic isocontoured images. [http://yt-project.org/doc/visualizing/volume\\_rendering.html#volume-rendering](http://yt-project.org/doc/visualizing/volume_rendering.html#volume-rendering). Accessed: 24.7.2015.
- [6] yt api: yt.visualization.plot\_window.projectionplot. [http://yt-project.org/doc/reference/api/generated/yt.visualization.plot\\_window.ProjectionPlot.html#yt.visualization.plot\\_window.ProjectionPlot](http://yt-project.org/doc/reference/api/generated/yt.visualization.plot_window.ProjectionPlot.html#yt.visualization.plot_window.ProjectionPlot). Accessed: 20.7.2015.
- [7] G. L. Bryan, M. L. Norman, B. W. O'Shea, T. Abel, J. H. Wise, M. J. Turk, D. R. Reynolds, D. C. Collins, P. Wang, S. W. Skillman, B. Smith, R. P. Harkness, J. Bordner, J.-h. Kim, M. Kuhlen, H. Xu, N. Goldbaum, C. Hummels, A. G. Kritsuk, E. Tasker, S. Skory, C. M. Simpson, O. Hahn, J. S. Oishi, G. C. So, F. Zhao, R. Cen, Y. Li, and Enzo Collaboration. ENZO: An Adaptive Mesh Refinement Code for Astrophysics. *ApJS*, 211:19, April 2014.
- [8] Brian W O'Shea, Greg Bryan, James Bordner, Michael L Norman, Tom Abel, Robert Harkness, and Alexei Kritsuk. Introducing enzo, an amr cosmology application. *arXiv preprint astro-ph/0403044*, 2004.
- [9] M. J. Turk, B. D. Smith, J. S. Oishi, S. Skory, S. W. Skillman, T. Abel, and M. L. Norman. yt: A Multi-code Analysis Toolkit for Astrophysical Simulation Data. *ApJS*, 192:9, January 2011.

# A 3D-animaatio spiraaliradlla lähestyen

```
1 # -*- coding: utf-8 -*-
2
3 import yt
4 import numpy as np
5 import math
6
7 ds = yt.load("data/dataset")
8 ad = ds.all_data()
9
10 v, tiheysmaksimi = ds.find_max("density")
11 densSphere = ds.sphere(tiheysmaksimi, (0.5, "kpc"))
12 maxlocs = densSphere.quantities.max_location(("gas", "
    ↳ H2_fraction"))
13 H2max = maxlocs[2:5]
14 H2sphere = ds.sphere(H2max, (1.5, "kpc"))
15
16 mi, ma = H2sphere.quantities.extrema("H2_fraction")
17 tf = yt.ColorTransferFunction((np.log10(mi), np.log10(ma)))
18 tf.add_layers(100, w=0.01, colormap="hot")
19
20 L = [1, 1, 1]
21 W = 0.04
22 Npixels = 512
23
24 cam = ds.camera(H2max, L, W, Npixels, tf, fields=["H2_fraction"
    ↳ ], data_source=H2sphere)
25
26 frame=0
27 step=0.02
28 frames = int(math.floor(2*math.pi/step))
29
30 for i, snapshot in enumerate(cam.zoomin(7, frames, clip_ratio
    ↳ =8.0)):
31     cam.rotate(0.05)
32     snapshot.write_png("kuvat/volume-spiraali%04i.png" %frame)
33     frame += 1
```